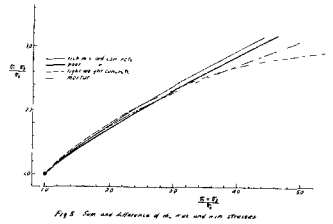
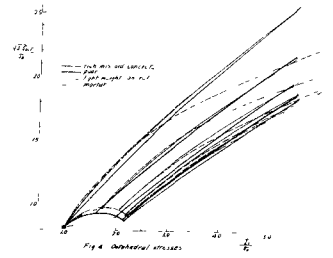
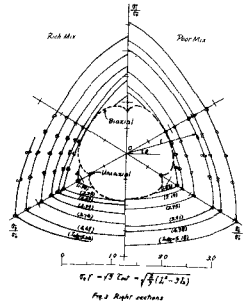


ンクリートは、普通コンクリートより若干大きい(最大約9%)程度である。定順序載荷による結果は中空印で示してある。これより、二軸圧縮強度は、載荷経路の影響を受けないと考えてよい。モルタルでは、コンクリート程の強度増加は認められなかった。三軸圧縮試験の結果より求めた破壊曲面の直截面($I/\sigma_3 = \text{一定}$)の例をFig-3に示す。因中で $\gamma = \sqrt{3} \sigma_{act}/\sigma_0$, $\alpha = \tan^{-1}(\frac{1}{\sqrt{3}} \frac{\sigma_2 - \sigma_1 - \sigma_3}{\sigma_1 - \sigma_3})$ として与えられるので、 I/σ_3 に対して $\sqrt{3} \sigma_{act}/\sigma_0$ をプロットした八面体応力表示は、破壊曲面の特性を表わしていることが見える。八面体応力表示をFig-4に示す。貧富両配合コンクリートの破壊曲面には、大差は認められない。静水圧の低い範囲($I/\sigma_3 < 3.5$)では、普通および軽量コンクリート両破壊曲面間に殆んど差は認められないが、静水圧が次第に高くなると($I/\sigma_3 > 3.5$)軽量コンクリートでは、膨張の割合が普通コンクリートより小さくなり、また直截面の形状も静水圧増加と共に丸味を帯びてくる傾向にある。この原因は進行性内部破壊にあると考えられよう。モルタル破壊曲面は普通コンクリートの曲面と大差ないと考えて良いであろう。最大、最小主応力の和と差による表示をFig-5に掲げた。各曲線は近似的な破壊条件を表わしていると考えてよい。貧富両配合のコンクリートでは殆んど差は認められない。軽量コンクリートにおいても $(\sigma_1 + \sigma_3)/\sigma_0 \approx 3.5$ までは普通コンクリートと殆んど差はないが、この値を越えると曲線の勾配は緩かとなる。



三軸圧縮試験においても、こゝで行なつた実験範囲では、載荷経路の影響は認められなかった。従つて破壊曲面を求めるときには、 $I = \text{一定}$ 平面内の載荷経路による方が精度的に有利であろう。なお破壊断面の角度は一定せず、剪断破壊としてのいわゆる内部摩擦角は求められなかった。

4. おわりに; 軽量コンクリートでは、静水圧の高い場合に、若干の差は認められるが、モルタル、コンクリートの破壊曲面形は、無次元主応力空間内で一致すると考えられよう。従つて、一軸圧縮強度を基に、二軸および三軸組み合わせ圧縮応力状態における強度を推定することが可能となる。

文献: 1) Niwa, Y. and Kobayashi, S.; "Failure Criterion of Cement Mortar Under Triaxial Compression", *Memo. of Faculty of Eng, Kyoto Univ.* XXIX, part I, pp. 1~15 (1967)
 2) 小林昭一・小柳治;"コンクリートの圧縮破壊における破壊条件", 材料印刷中
 3) 丹科義次・小柳治・小林昭一;"人工軽量コンクリートの三軸圧縮破壊条件", 土木学会論文集, 143号, pp. 20~35 (1962)